

ผลของสารเอนโดกราฟไลต์ ไปเปอร์อิน และโรยีตูคีนต่อการหดตัว
ของหลอดเลือดแดงและหลอดเลือดดำของสายสะดื้อมนุษย์

นางสาววิදารัตน์ สุขุมวรัตน์

วิทยานิพนธ์นี้เป็นส่วนหนึ่งของการศึกษาตามหลักสูตรปริญญาวิทยาศาสตร์มหาบัณฑิต
สาขาวิชาเภสัชวิทยา
บัณฑิตวิทยาลัย จุฬาลงกรณ์มหาวิทยาลัย

พ.ศ.2539

ISBN 974-634-869-8

ลิขสิทธิ์ของบัณฑิตวิทยาลัย จุฬาลงกรณ์มหาวิทยาลัย

๑๗๑๗๕๔๔๖

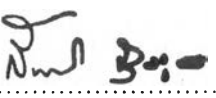
EFFECTS OF ANDROGRAPHOLIDE, PIPERINE, AND ROHITUKINE
ON THE CONTRACTION OF HUMAN ISOLATED UMBILICAL
ARTERIES AND VEINS

Miss Widarat Sukkamolrat

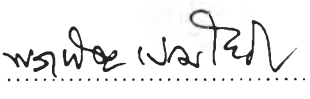
A Thesis Submitted in Partial Fulfillment of the Requirements
for the Degree of Master of Science
Inter-Department of Pharmacology
Graduated School
Chulalongkorn University
1996
ISBN 974-634-869-8

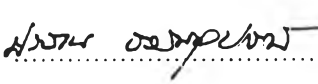
หัวขอวิทยานิพนธ์
โดย
ภาควิชา^{ศาสตร์สุขภาพจิต}
อาจารย์ที่ปรึกษา^{ดร.ประสาร อรรมาอุปกรณ์}
ผลของสารแอนโดรกราฟไอล์ด ไปเปอร์อิน และโรฮิตูคีน ต่อการลด
ตัวของหลอดเลือดแดงและหลอดเลือดดำของสายสะท้อนนุชย์
นางสาววิดาวัตน์ สุขุมลรัตน์
สาขาวิชาเกล็ชวิทยา
รองศาสตราจารย์ ดร.ประสาร อรรมาอุปกรณ์

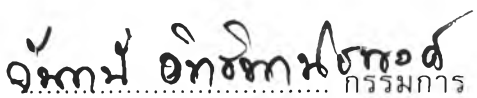
บัณฑิตวิทยาลัย จุฬาลงกรณ์มหาวิทยาลัย อนุมัติให้บัณฑิตวิทยานิพนธ์ฉบับนี้เป็นส่วน
หนึ่งของการศึกษา ตามหลักสูตรปริญญามหาบัณฑิต

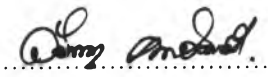

..... คณบดีบัณฑิตวิทยาลัย
(รองศาสตราจารย์ ดร.สันติ ถุนสุวรรณ)

คณะกรรมการสอบบัณฑิตวิทยานิพนธ์


..... ประธานกรรมการ
(รองศาสตราจารย์ ดร.พรเพ็ญ เพรมโยธิน)


..... อาจารย์ที่ปรึกษา
(รองศาสตราจารย์ ดร.ประสาร อรรมาอุปกรณ์)


..... กรรมการ
(รองศาสตราจารย์จันทน์ อิทธิพานิชพงศ์)


..... กรรมการ
(อาจารย์ทันตแพทย์ ดร. วัฒนา คนอิ่วคำมี)

พิมพ์ต้นฉบับที่ดีย่อวิทยานิพนธ์ภายในกรอบสีเขียวนี้เพียงแผ่นเดียว

วิภาวดน สุขกลมรัตน์ : ผลของสารแอนโอดรากราฟายล์เดอร์ ไปเปอร์อิน และโรฮิตูกีนต่อการหดตัวของหลอดเลือดแดงและหลอดเลือดดำของสายสะเดื่อมนุษย์ (EFFECTS OF ANDROGRAPHOLIDE, PIPERINE, AND ROHITUKINE ON THE CONTRACTION OF HUMAN ISOLATED UMBILICAL ARTERIES AND VEINS) อ.ที่ปรึกษา : รศ.ดร.ประสาณ ธรรมอุปกรณ์, 81 หน้า. ISBN 974-634-869-8

สารแอนโอดรากราฟายล์เดอร์เป็นสารสกัดบริสุทธิ์ในกลุ่มแอลกอโนลที่สกัดได้จากใบของสมุนไพรฝ่าทะลายโจง (*Andrographis paniculata* Wall. ex Nees.) สารไปเปอร์อินเป็นอัลคาโลย์ดหลักที่พบในพริกไทย (*Piper nigrum* Linn.) และโรฮิตูกีนเป็นสารสกัดบริสุทธิ์ประเภทโครโนนอัลคาโลย์ดที่ได้จากตันตาเสือทุ่ง (*Dysoxylum crytobotryum* Miq.) ได้ศึกษาฤทธิ์ของสารเหล่านี้ต่อการหดตัวของหลอดเลือดแดง (umbilical artery) และหลอดเลือดดำ (umbilical vein) ของสายสะเดื่อมนุษย์ จากการศึกษาพบว่าหลอดเลือดของสายสะเดื่อมนุษย์สามารถหดตัวได้น้อยมากเมื่อให้ ACh และ NE (2×10^{-6} M) เปรียบเทียบกับ 5-HT และ histamine (2×10^{-6} M) ซึ่งมีฤทธิ์ทำให้หลอดเลือดหดตัวได้มาก และถูกยับยั้งได้เมื่อให้ ketanserin และ chlorpheniramine ตามลำดับ ในสารละลายน้ำ Krebs Henseleit และสารแอนโอดรากราฟายล์เดอร์ (3×10^{-4} M) สามารถยับยั้งการหดตัวของหลอดเลือดแดงและหลอดเลือดดำซึ่งกระตุ้นด้วย 5-HT และ histamine (2×10^{-6} M) สารแอนโอดรากราฟายล์เดอร์ (3×10^{-5} M) สามารถยับยั้งการหดตัวของหลอดเลือดแดงและหลอดเลือดดำซึ่งกระตุ้นด้วย histamine (2×10^{-6} M) รวมทั้งไปเปอร์อิน (3×10^{-5} M) สามารถยับยั้งการหดตัวของหลอดเลือดแดงและหลอดเลือดดำที่กระตุ้นด้วย histamine (2×10^{-6} M) รวมทั้งไปเปอร์อิน (3×10^{-5} M) สามารถยับยั้งการหดตัวของหลอดเลือดแดงและหลอดเลือดดำซึ่งกระตุ้นด้วย 5-HT (2×10^{-6} M) สำหรับสารโรฮิตูกีน (3.69×10^{-4} M) สามารถยับยั้งการหดตัวของหลอดเลือดแดงและหลอดเลือดดำซึ่งกระตุ้นด้วย 5-HT และ histamine (2×10^{-6} M) แต่สารโรฮิตูกีนในขนาดที่ต่ำลง (3×10^{-5} M) ไม่สามารถยับยั้งได้ แต่กลับมีแนวโน้มว่าเพิ่มการหดตัวของหลอดเลือด ดังนั้น จากผลการศึกษาฤทธิ์ของสารทั้งสามชนิดต่อกล้ามเนื้อเรียบชนิดอื่น ๆ ที่ได้ศึกษามาก่อนหน้านี้ อาจสรุปได้ว่าสารทั้งสามชนิดนี้สามารถยับยั้งการหดตัวของหลอดเลือดที่สายสะเดื่อ อันเป็นข้อมูลที่จะนำไปพิจารณาการใช้ทางการแพทย์ได้ และเชื่อว่ากลไกในการออกฤทธิ์นั้นไม่ได้จำเพาะเจาะจงต่อ receptor การยับยั้งการหดตัวน่าจะเกิดจากการยับยั้งหรือ รบกวนการเคลื่อนที่ผ่านเข้าเซลล์ของแคลเซียมอิออน

ภาควิชา สหสาขาวิชาเภสัชวิทยา
สาขาวิชา เภสัชวิทยา^๑
ปีการศึกษา ๒๕๓๙

ลายมือชื่อนิสิต
ลายมือชื่ออาจารย์ที่ปรึกษา
ลายมือชื่ออาจารย์ที่ปรึกษาร่วม

C745664 : MAJOR PHARMACOLOGY

KEY WORD : ANDROGRAPHOLIDE / PIPERINE / ROHITUKINE / UMBILICAL ARTERIES / UMBILICAL VEINS

WIDARAT SUKKAMOLRAT : EFFECTS OF ANDROGRAPHOLIDE, PIPERINE, AND ROHITUKINE ON THE CONTRACTION OF HUMAN ISOLATED UMBILICAL ARTERIES AND VEINS.
THESIS ADVISOR : ASSO. PROF. DR. PRASAN DHUMMA-UPAKORN, Ph.D. 81 pp. ISBN 974-634-869-8

Andrographolide is a member of lactone compounds isolated from leaves of Thai medicinal plant, *Andrographis paniculata* Wall.ex Nees. Piperine is a main alkaloid of *Piper nigrum* Linn. and rohitukine is a main pure cromone alkaloid that extracted from *Dysoxylum crytobotryum* Miq. The effects of these compounds on the contraction of isolated human umbilical arteries and veins were investigated. Acetylcholine and NE (2×10^{-6} M) produced only a slight vasoconstriction comparing with 5-HT and histamine (2×10^{-6} M) which produced strong vasoconstriction and were significantly reduced by ketanserin and chlorpheniramine respectively in Krebs-Henseleit solution. Andrographolide (3×10^{-4} M) significantly reduced contraction of umbilical arteries and veins induced by 5-HT and histamine (2×10^{-6} M). In the lower dose (3×10^{-5} M) andrographolide significantly reduced only the contraction of umbilical arteries induced by histamine (2×10^{-6} M). Piperine (1.5×10^{-5} M and 3×10^{-5} M) significantly reduced contraction of umbilical arteries and veins induced by histamine (2×10^{-6} M) and also piperine (3×10^{-5} M) significantly reduced contraction of both vessels induced by 5-HT (2×10^{-6} M). Rohitukine (3.69×10^{-4} M) significantly reduced contraction of umbilical arteries and veins induced by 5-HT and histamine (2×10^{-6} M) but in lower dose (3×10^{-5} M) showed variable increase contraction of umbilical vessels. Due to the previous studies of these compounds on the other smooth muscles it could be suggested that their mechanism on umbilical vessels may not mediated via specific receptor and may probably due to interference with Ca^{2+} influx through membrane calcium channels. These results could be considered for clinical application.

ภาควิชา สาขาวิชาเภสัชวิทยา
สาขาวิชา เภสัชวิทยา
ปีการศึกษา 2539

ลายมือชื่อนิสิต
ลายมือชื่ออาจารย์ที่ปรึกษา
ลายมือชื่ออาจารย์ที่ปรึกษาร่วม

กิตติกรรมประกาศ

วิทยานิพนธ์ฉบับนี้ ได้สำเร็จลุล่วงไปได้ด้วยดี ทั้งนี้ด้วยความช่วยเหลืออย่างดียิ่ง ตลอดจนคำแนะนำในด้านต่างๆของรองศาสตราจารย์ ดร.ประสาน อรรමอุปกรณ์ อาจารย์ที่ปรึกษาวิทยานิพนธ์ ผู้วิจัยขอกราบขอบพระคุณเป็นอย่างสูง

ขอขอบพระคุณ รองศาสตราจารย์ ดร.พรเพ็ญ เพรมโยธิน หัวหน้าภาควิชา เภสัชวิทยา ที่กราอนุญาตให้ใช้สถานที่ อุปกรณ์ เครื่องใช้ต่างๆในการทำวิจัย และ กรุณามาเป็นประธานกรรมการในการสอบวิทยานิพนธ์

ขอขอบพระคุณ รองศาสตราจารย์ชัยโย ชัยชาญทิพยุทธ ภาควิชาเภสัชเวท และ รองศาสตราจารย์ ดร. เอกรินทร์ สายฟ้า ภาควิชาเภสัชพฤกษาศาสตร์ คณะ เภสัชศาสตร์ จุฬาลงกรณ์มหาวิทยาลัย ที่ได้กรุณาให้สารเคมีในการทำวิจัย

ขอขอบพระคุณคณาจารย์บัณฑิตศึกษา สหสาขาเภสัชวิทยาทุกท่าน ตลอด จนบันทิตวิทยาลัย ที่กรุณาให้ความรู้ คำแนะนำ ความช่วยเหลือและทุนอุดหนุนในการทำวิจัย

ขอขอบพระคุณพยาบาลและเจ้าหน้าที่ ที่มีส่วนเกี่ยวข้องของห้องคลอดโรงพยาบาลชีรพยาบาล กรุงเทพมหานคร

สุดท้ายนี้ขอกราบขอบพระคุณบิดา มารดา ที่ได้ให้การสนับสนุนและให้กำลังใจตลอดมา และขอบพระคุณบุคคลอื่นๆ ที่มีส่วนช่วยเหลือในการทำวิทยานิพนธ์ครั้งนี้ จันเสรีjsmบูรณะ

วิราษร์ตัน พุกมลรัตน์

สารบัญ

หน้า

บทคัดย่อภาษาไทย.....	๑
บทคัดย่อภาษาอังกฤษ.....	๑
กิตติกรรมประกาศ.....	๙
สารบัญ.....	๙
สารบัญตาราง.....	๙
สารบัญรูปภาพ	๙
คำอธิบายสัญลักษณ์และคำย่อ.....	๑๘

บทที่

1 บทนำ

โครงสร้างและหน้าที่ของสายสะตือ.....	1
พัฒนาระบบ.....	1
พริกไทย.....	8
ตาเสือทุ่ง.....	13
แนวเหตุผลและสมมติฐานในการศึกษา.....	16
วัตถุประสงค์การวิจัย.....	16
ประโยชน์ที่คาดว่าจะได้รับ.....	17

2 อุปกรณ์ และวิธีดำเนินวิจัย

Materials เครื่องมือ สารเคมี และแก๊ส

1. Materials.....	18
2. เครื่องมือ.....	18
3. สารเคมี.....	18
4. แก๊ส.....	20

วิธีดำเนินการวิจัย

1. การเตรียมหลอดเลือดแดงและหลอดเลือดดำที่สายสะตือมนุษย์ 20	20
2. การเตรียมหลอดเลือดเพื่อทดลองในห้องปฏิบัติการ.....	20
3. การท้าวิจัย	

สารบัญ (ต่อ)

	หน้า
3.1 การศึกษาการออกฤทธิ์ของ 5-HT, histamine, ACh, NE ต่อหลอดเลือดที่สายสะดีอ่อนนุชย์.....	23
3.2 การศึกษาผลของแอนโตรกราฟไอล์ด์ต่อการหดตัวของ หลอดเลือดที่สายสะดีอ่อนนุชย์ โดยใช้สารกระตุ้นการ หดตัว 5-HT และ histamine.....	23
3.3 การศึกษาผลของไปเปอร์ินต่อการหดตัวของหลอดเลือด ที่สายสะดีอ่อนนุชย์ โดยใช้สารกระตุ้นการหดตัว 5-HT และ histamine.....	24
3.4 การศึกษาผลของโรฮีตูคีนต่อการหดตัวของหลอดเลือด ที่สายสะดีอ่อนนุชย์ โดยใช้สารกระตุ้นการหดตัว 5-HT และ histamine.....	25
4. การวิเคราะห์ข้อมูล.....	25
3 ผลการทดลอง	
1. ผลการศึกษาการออกฤทธิ์ของ 5-HT, histamine, ACh, NE ต่อหลอดเลือดที่สายสะดีอ่อนนุชย์.....	26
2. ผลของแอนโตรกราฟไอล์ด์ ต่อการหดตัวของหลอดเลือด ที่สายสะดีอ่อนนุชย์ด้วยสารกระตุ้นการหดตัว	
2.1 เมื่อกระตุ้นด้วย 5-HT.....	29
2.2 เมื่อกระตุ้นด้วย histamine.....	35
3. ผลของไปเปอร์ิน ต่อการหดตัวของหลอดเลือดที่ สายสะดีอ่อนนุชย์ด้วยสารกระตุ้นการหดตัว	
3.1 เมื่อกระตุ้นด้วย 5-HT.....	42
3.2. เมื่อกระตุ้นด้วย histamine.....	49
4. ผลของโรฮีตูคีน ต่อการหดตัวของหลอดเลือดที่ สายสะดีอ่อนนุชย์ด้วยสารกระตุ้นการหดตัว	
4.1 เมื่อกระตุ้นด้วย 5-HT.....	49
4.2 เมื่อกระตุ้นด้วย histamine.....	50
4 อภิปรายและสรุปผลการทดลอง	

สารบัญ (ต่อ)

	หน้า
1. ผลการศึกษาการออกฤทธิ์ของ 5-HT, histamine, ACh, NE ต่อหลอดเลือดสายสะดื้อมนุษย์.....	60
2. ผลของแอนโดรกราฟีල์ต์ ต่อการหดตัวของหลอดเลือด สายสะดื้อมนุษย์ โดยใช้สารกระตุ้นการหดตัว 5-HT และ histamine.....	66
3. ผลของไปเปอร์อินต่อการหดตัวของหลอดเลือดสายสะดื้อ มนุษย์ โดยใช้สารกระตุ้นการหดตัว 5-HT และ histamine.....	67
4. ผลของโรซิตูคินต่อการหดตัวของหลอดเลือดสายสะดื้อ มนุษย์ โดยใช้สารกระตุ้นการหดตัว 5-HT และ histamine.....	68
สรุปผลการทดลอง.....	70
รายการอ้างอิง.....	72
ประวัติผู้เขียน.....	81

สารบัญตาราง

ตารางที่

หน้า

1. แสดงส่วนประกอบของสารละลายนี้ Krebs-Henseleit

22

สารบัญรูปภาพ

หน้า

รูปภาพที่

1.	แสดงหน้าตัดของสายสะตือปกติ.....	2
2.	แสดงลักษณะลำต้น ใน ฝึก และดอกของฟ้าทะลายโจร.....	4
3.	แสดงสูตรโครงสร้างทางเคมีของสารสำคัญประเภท แอลกอฮอล์ในฟ้าทะลายโจร.....	5
4.	แสดงลักษณะลำต้น ก้าน ใน และผลของพริกไทย	9
5.	แสดงสูตรโครงสร้างของไปเปอร์อิน.....	10
6.	แสดงลักษณะก้าน ใน และผลของตาเสือทุ่ง	14
7.	แสดงสูตรโครงสร้างของโรเชตตีน.....	15
8.	แสดงการจดเครื่องมือสำหรับทดลองกับหลอดเลือด ที่สายสะตือมนุษย์.....	19
9.	แสดงตำแหน่งการตัตสายสะตือส่วนที่จะนำมาทำการทดลอง.....	21
10.	แสดงผลของ 5-HT ขนาด $2 \times 10^{-6} \text{ M}$ ในการกระตุ้น การหดตัวของหลอดเลือดแดงและหลอดเลือดดำที่สาย สะตือเมื่อกระตุ้นด้วย 5-HT ขนาด $2 \times 10^{-6} \text{ M}$	27
11.	แสดงผลของ Ketanserin ขนาด $2 \times 10^{-6} \text{ M}$ ในการ ต้านฤทธิ์การหดตัวของหลอดเลือดแดงและหลอดเลือดดำที่สาย สะตือเมื่อกระตุ้นด้วย 5-HT ขนาด $2 \times 10^{-6} \text{ M}$	28
12.	แสดงผลของ histamine ขนาด $2 \times 10^{-6} \text{ M}$ ในการ กระตุ้นการหดตัวของหลอดเลือดแดงและหลอดเลือดดำ ที่สายสะตือ.....	30
13.	แสดงผลของ Chlorpheniramine ขนาด $2 \times 10^{-6} \text{ M}$ ในการต้านฤทธิ์การหดตัวของหลอดเลือดแดงและ หลอดเลือดดำที่สายสะตือเมื่อกระตุ้นด้วย histamine ขนาด $2 \times 10^{-6} \text{ M}$	31
14.	แสดงผลของ ACh ขนาด $2 \times 10^{-6} \text{ M}$ ในการกระตุ้น การหดตัวของหลอดเลือดแดงและหลอดเลือดดำที่สายสะตือ เปรียบเทียบกับ 5-HT และ histamine ขนาด $2 \times 10^{-6} \text{ M}$	32

สารบัญรูปภาพ (ต่อ)

รูปภาพที่

หน้า

15. แสดงผลของ NE ขนาด 2×10^{-6} M ใน การกระตุ้นการ
หดตัวของหลอดเลือดแดงและหลอดเลือดดำที่สายสะตือ
เปรียบเทียบกับ 5-HT และ histamine ขนาด 2×10^{-6} M.....33
16. แสดงผลของ alcohol ต่อการหดตัวของหลอดเลือดแดงและ
หลอดเลือดดำที่สายสะตือ เมื่อกระตุ้นการหดตัวด้วย 5-HT
ขนาด 2×10^{-6} M.....34
17. กราฟแสดงผลของ alcohol ต่อการหดตัวของหลอดเลือดแดง
และหลอดเลือดดำที่สายสะตือมันุษย์ เมื่อกระตุ้นการหดตัว
ด้วย 5-HT ขนาด 2×10^{-6} M.....36
18. แสดงผลของแอนโดรกราฟโอลีด (3×10^{-5} M) ต่อการ
หดตัวของหลอดเลือดแดงและหลอดเลือดดำที่สายสะตือ
เมื่อกระตุ้นการหดตัวด้วย 5-HT ขนาด 2×10^{-6} M.....37
19. แสดงผลของแอนโดรกราฟโอลีด (3×10^{-4} M) ต่อการ
หดตัวของหลอดเลือดแดงและหลอดเลือดดำที่สายสะตือ
เมื่อกระตุ้นการหดตัวด้วย 5-HT ขนาด 2×10^{-6} M.....38
20. กราฟแสดงผลของแอนโดรกราฟโอลีด ขนาด 3×10^{-5} M
และขนาด 3×10^{-4} M ต่อการหดตัวของหลอดเลือดแดงและหลอด
เลือดดำที่สายสะตือ เมื่อกระตุ้นการหดตัวด้วย 5-HT ขนาด
 2×10^{-6} M.....39
21. แสดงผลของ alcohol ต่อการหดตัวของหลอดเลือดแดงและ
หลอดเลือดดำที่สายสะตือเมื่อกระตุ้นการหดตัวด้วย histamine
ขนาด 2×10^{-6} M.....40

สารบัญรูปภาพ (ต่อ)

รูปภาพที่

หน้า

- | | |
|--|----|
| 22. กราฟแสดงผลของ alcohol ต่อการหดตัวของหลอดเลือดแดงและหลอดเลือดดำที่สายสะตือ เมื่อกระตุ้นการหดตัวด้วย histamine ขนาด 2×10^{-6} M..... | 41 |
| 23. แสดงผลของแอนโตรกราฟไลต์ (3×10^{-5} M) ต่อการกระตุ้นการหดตัวของหลอดเลือดแดงและหลอดเลือดดำที่สายสะตือ เมื่อกระตุ้นการหดตัวด้วย histamine ขนาด 2×10^{-6} M..... | 43 |
| 24. แสดงผลของแอนโตรกราฟไลต์ (3×10^{-4} M) ต่อการหดตัวของหลอดเลือดแดงและหลอดเลือดดำที่สายสะตือ เมื่อกระตุ้นการหดตัวด้วย histamine ขนาด 2×10^{-6} M..... | 44 |
| 25. กราฟแสดงผลของแอนโตรกราฟไลต์ ขนาด 3×10^{-5} M และ 3×10^{-4} M ต่อการหดตัวของหลอดเลือดแดงและหลอดเลือดดำที่สายสะตือ เมื่อกระตุ้นการหดตัวด้วย histamine ขนาด 2×10^{-6} M..... | 45 |
| 26. แสดงผลของไปเปอร์ิน (1.5×10^{-5} M) ต่อการหดตัวของหลอดเลือดแดงและหลอดเลือดดำที่สายสะตือ เมื่อกระตุ้นการหดตัวด้วย 5-HT ขนาด 2×10^{-6} M | 46 |
| 27. แสดงผลของไปเปอร์ิน (3×10^{-5} M) ต่อการหดตัวของหลอดเลือดแดงและหลอดเลือดดำที่สายสะตือ เมื่อกระตุ้นการหดตัวด้วย 5-HT ขนาด 2×10^{-6} M..... | 47 |
| 28. กราฟแสดงผลของไปเปอร์ินขนาด 1.5×10^{-5} M และ 3×10^{-5} M ต่อการหดตัวของหลอดเลือดแดงและหลอดเลือดดำที่สายสะตือ เมื่อกระตุ้นการหดตัวด้วย 5-HT ขนาด 2×10^{-6} M..... | 48 |
| 29. แสดงผลของไปเปอร์ิน (1.5×10^{-5} M) ต่อการหดตัวของหลอดเลือดแดงและหลอดเลือดดำที่สายสะตือ เมื่อกระตุ้นการหดตัวด้วย histamine ขนาด 2×10^{-6} M..... | 51 |

สารบัญรูปภาพ (ต่อ)

รูปภาพที่	หน้า
30. แสดงผลของไปเปอร์อิน (3×10^{-5} M) ต่อการหดตัวของ หลอดเลือดแดงและหลอดเลือดดำที่สายสะตื้อ เมื่อกราฟตุ้น ⁵ การหดตัวด้วย histamine ขนาด 2×10^{-6} M.....	52
31. กราฟแสดงผลของไปเปอร์อิน ขนาด 1.5×10^{-5} M และ 3×10^{-5} M ต่อการหดตัวของหลอดเลือดแดงและ หลอดเลือดดำ ที่สายสะตื้อ เมื่อกราฟตุ้นการหดตัวด้วย histamine ขนาด 2×10^{-6} M.....	53
32. แสดงผลของโรซิตุคีน (3×10^{-5} M) ต่อการหดตัวของ หลอดเลือดแดงและหลอดเลือดดำที่สายสะตื้อ เมื่อกราฟตุ้น ⁵ การหดตัวด้วย 5-HT ขนาด 2×10^{-6} M.....	54
33. แสดงผลของโรซิตุคีน (3.69×10^{-4} M) ต่อการหดตัว ของหลอดเลือดแดงและหลอดเลือดดำที่สายสะตื้อ เมื่อ กราฟตุ้นการหดตัวด้วย 5-HT ขนาด 2×10^{-6} M.....	55
34. กราฟแสดงผลของโรซิตุคีน ขนาด 3×10^{-5} M และ 3.69×10^{-4} M ต่อการหดตัวของหลอดเลือดแดงและ หลอดเลือดดำที่สายสะตื้อ เมื่อกราฟตุ้นการหดตัวด้วย 5-HT ขนาด 2×10^{-6} M.....	56
35. แสดงผลของโรซิตุคีน (3×10^{-5} M) ต่อการหดตัวของ หลอดเลือดแดงและหลอดเลือดดำที่สายสะตื้อ เมื่อกราฟตุ้น ⁵ การหดตัวด้วย histamine ขนาด 2×10^{-6} M.....	57
36. แสดงผลของโรซิตุคีน (3.69×10^{-4} M) ต่อการหดตัวของ หลอดเลือดแดงและหลอดเลือดดำที่สายสะตื้อ เมื่อกราฟตุ้น ⁵ การหดตัวด้วย histamine ขนาด 2×10^{-6} M.....	58
37. กราฟแสดงผลของโรซิตุคีน ขนาด 3×10^{-5} M และ 3.69×10^{-4} M ต่อการหดตัวของหลอดเลือดแดงและหลอด เลือดดำที่สายสะตื้อ เมื่อกราฟตุ้นการหดตัวด้วย histamine ขนาด 2×10^{-6} M	59

คำอธิบายสัญลักษณ์และคำย่อ

ACh	=	acetylcholine
BaCl ₂	=	barium chloride
CaCl ₂	=	calcium chloride
Ca ²⁺	=	calcium ion
cAMP	=	adenosine 3', 5' - cyclic monophosphate
g	=	gram
5-HT	=	5-hydroxytryptamine
IP ₃	=	inositol-1,4,5 triphosphate
K ⁺	=	potassium ion
L	=	Litre
μl	=	microlitre
mM	=	millimolar
min	=	minute
M	=	molar
NO	=	nitric oxide
NE	=	norepinephrine
PIP ₂	=	phosphatidylinositol 4,5-biphosphate
Na ⁺	=	sodium ion
TEA	=	tetraethylammonium chloride
VOC	=	voltage operated channels
LD ₅₀	=	the concentration produced 50% of lethal response
%	=	percent